

ارزیابی خسارات ناشی از سیل در حوزه‌های آبخیز قمصر و قهرود با استفاده از نرم‌افزار HEC-FIA

هدی دلیران فیروز^{*}، فهیمه مختاری خوزانی، سعید سلطانی و سید علیرضا موسوی^۱

(تاریخ دریافت: ۱۳۹۴/۲/۱۸؛ تاریخ پذیرش: ۱۳۹۴/۷/۸)

چکیده

در میان انواع خطرهای طبیعی، سیل شاید به عنوان ویرانگرترین عامل شناخته شود که خسارت زیادی را به جوامع انسانی تحمیل می‌کند. از این‌رو اهمیت برآورده خسارات ناشی از سیل و پهنه‌بندی سیلاب که کاربرد بسیاری در مدیریت دشت سیلابی دارد، مشخص می‌گردد. در این مطالعه با استفاده از نرم‌افزار HEC-FIA که یکی از مدل‌های جدید (سپتامبر ۲۰۱۲) به منظور برآورد اثرات و خسارات ناشی از سیل می‌باشد به محاسبه خسارات سیل در حوزه‌های آبخیز قهرود و قمصر پرداخته شد. در این مدل با استفاده از نقشه آبخیزتگی مربوط به سیلاب‌های با دوره‌های بازگشت مختلف که از HEC-DSS و HEC-Geo RAS به صورت فایل HEC-RAS به دست می‌آید و با کمک بانک اطلاعاتی جمع‌آوری شده در رابطه با کاربری‌های کشاورزی، ساختمانی و انسانی منطقه، خسارت‌های جانی و مالی به‌طور مستقیم قابل برآورد هستند. براساس نتایج این مدل خسارت‌های بخش کشاورزی، ساختمانی و انسانی به ترتیب در حوزه قهرود ۳۵۴ میلیون ریال و ۲۴ باب ساختمان تحت تأثیر سیل قرار می‌گیرند و همچنین در حوزه قمصر ۱۲۸۷۹ میلیون ریال و ۳۶ باب ساختمان تحت تأثیر سیل قرار می‌گیرند. از مزایای این مدل نسبت به مدل‌های قبلی برآورد مستقیم خسارت‌های اقتصادی و جانی برای سیل‌های اتفاق افتاده و احتمالی که در آینده به‌موقع می‌پیوندند، می‌باشد که نتایج آن می‌تواند در مدیریت حوزه آبخیز، یمه سیل و مدیریت ریسک ستاد بحران کمک شایانی بنماید.

واژگان کلیدی: برآورد اقتصادی خسارت سیل، پهنه‌بندی سیلاب، HEC-DSS، HEC-RAS، HEC-Geo RAS

۱. گروه مرتع و آبخیزداری، دانشکده منابع طبیعی، دانشگاه صنعتی اصفهان

*: مسئول مکاتبات: پست الکترونیکی: hdaliran220@gmail.com

مقدمه

GIS با مدل‌های هیدرولوژیک و هیدرولیک، مناطق تحت تأثیر سیل را طبقه‌بندی و به نقشه تبدیل کرده و نتایج رضایت‌بخشی به دست آورده‌اند. جلالی راد (۱۴) نیز در حوزه آبخیز شهری تهران با استفاده از مدل ریاضی HEC-RAS اقدام به تعیین مناطق سیل‌گیر کرده و نقشه پهنه‌های سیل‌گیر برای سیل با دوره‌های بازگشت مختلف را ترسیم کرد و در نهایت خسارت‌های سیل به‌ازای دوره‌های بازگشت مختلف را برآورد کرد. در مطالعه دیگری که به‌منظور ارزیابی خسارات ساختمانی و کشاورزی سیل انجام شده، دوتا و همکاران (۱۱) ابتدا توسط یک مدل هیدرولوژیک، عمق آب را در نقاط مختلف حوزه برآورد کردند و سپس با ترکیب توابع عمق- خسارت و نقشه عمق سیل، خسارت را محاسبه نمودند. پنینگ روسل و همکاران (۱۷) در تحقیقی دیگر روشی جهت تخمین خسارت جانی ناشی از سیل ارائه دادند. در این روش، درصد مردم در خطر از حاصل ضرب درجه خطر (Hazard rating) و مساحت آسیب‌پذیر (Vulnerability area) به‌دست می‌آید. مساحت آسیب‌پذیر از جمع ضرایب مربوط به نوع سیستم هشدار سیل، زمان رسیدن سیلاب (Speed of onset) و نوع کاربری منطقه با توجه به فاصله از رودخانه به‌دست می‌آید. همچنین عمق تیپ، سرعت تیپ و فاکتور واریزه (باتوجه به فاصله از رودخانه) نیز از عوامل مؤثر در محاسبه درجه خطر محسوب می‌شود. در این مطالعه توزیع مکانی سیل باتوجه به فاصله از رودخانه به صورت گستته مدنظر قرار گرفته، اما توجهی به احتمال رخداد سیل چه در دراز مدت (دوره‌های برگشت) و چه در طی سال یا شباهه روز نگردیده است. از دیگر تحقیقات انجام شده در زمینه برآورد خسارت سیل می‌توان به مطالعه امیدوار و همکاران (۱) به‌منظور ارزیابی خسارت‌های مستقیم و غیرمستقیم مالی سیل با استفاده از نرم‌افزار HAZUS – MH اشاره کرد که براساس یافته‌های تحقیق خود، دقت و سرعت استفاده از نرم‌افزارهای رایانه‌ای را در مقایسه با روش‌های محاسبه خسارت دستی مورد تأکید قرار داده‌اند (۱). فدایی و همکاران (۴) نیز با تلفیق نرم‌افزارهای GIS، HEC-RAS و HEC-FDA به محاسبه

سیل یکی از حوادث طبیعی است که سالانه خسارات زیادی را به جوامع انسانی وارد می‌آورد. در این میان شهرها و مراکز جمعیتی، بیشترین ریسک و احتمال خسارت فیزیکی قابل لمس ناشی از وقوع سیل را دارا می‌باشند (۱۹). در سال‌های اخیر رشد شهرها در دشت‌های سیلابی، به خصوص در حاشیه رودخانه‌ها موجب شده تا ساکنان و اموال منقول موجود در منطقه، در معرض خطر سیل باشند. ایران به عنوان یکی از چند کشور حادثه خیز جهان هرساله شاهد چنین خوادشی می‌باشد. به عنوان مثال در فاصله سال‌های (۱۳۷۰-۱۳۴۶) در ایران حدود ۴۲۵ میلیون نفر تحت تأثیر خسارات سیل قرار گرفته و حدود ۲/۹ میلیون نفر بی‌خانمان و ۴۸۲ هزار باب منزل مسکونی ویران شده است. بنابراین آمار، در طول مدت ۲۵ سال مذکور، فراوانی سیل ۹۶۷ بار بوده و در هر بار حدود ۴۴ هزار نفر تحت تأثیر خسارت سیل قرار گرفته‌اند (۳). اولین قدم برای ایجاد یک برنامه مؤثر به‌منظور جلوگیری از خسارات سیل، تشخیص مناطق حساس به سیل و دارای پتانسیل سیل خیزی و تهیه نقشه سیل‌گرفتگی می‌باشد. با پیشرفت کامپیوتر و تکنیک‌های پردازش داده‌های مکانی و ماهواره‌ای، GIS به عنوان یک ابزار قوی جهت ایجاد و آنالیز داده‌ها به‌منظور مدیریت دشت‌های سیلابی به کار گرفته شده است (۱۶). یانگ و همکاران (۲۱) نقشه سیل‌گرفتگی رودخانه بیرونیک، در اوتاوا را با استفاده از HEC-RAS برای رگبارهای انتخاب شده در دوره‌های بازگشت ۱۰، ۵۰، ۱۰۰ سال به‌دست آورده‌اند. آنها در ابتدا داده‌های ۲- HEC را به HEC-RAS وارد و مدل شبکه رودخانه را تولید کرده‌اند سپس مدل رودخانه‌ای را جهت تولید داده‌های هندسی داخل آبراهه و ارتفاع سطحی آب برای مدل زمینی ایجاد نموده و در نهایت نقشه آب‌گرفتگی را تولید کرده‌اند (۲۱). ساها و همکاران (۱۸)، فرانسیسکو و همکاران (۱۲)، هوندشا و همکاران (۱۳) و دونکر (۹) همگی از GIS به عنوان یک ابزار قدرتمند برای تکمیل و تحلیل داده‌های منابع مختلف به‌منظور مدیریت دشت‌های سیلابی استفاده کرده و با اتصال

کوچکی از حوضه بزرگ دریاچه نمک قم می‌باشد. این حوزه بین مختصات جغرافیایی $۱۸^{\circ} ۵۹' ۵۱''$ تا $۲۶^{\circ} ۵۸' ۰۵''$ طول شرقی و $۳۸^{\circ} ۳۳' ۰۳''$ تا $۱۹^{\circ} ۴۶' ۳۳''$ عرض شمالی قرار دارد و از نظر تقسیمات حوزه‌ای، جزیی از سرشاخه‌های حوزه رودخانه بن‌رود بهشمار می‌رود. این دو حوزه با توجه به ویژگی‌های فیزیوگرافی و کوهستانی بودن منطقه و همچنین تجاوزهای روزافرونه انسانی به حریم و بستر رودخانه تحت تأثیر وقایع سیلابی متعددی قرار دارد و از این‌رو برای انجام این مطالعه انتخاب شدند.

روش تحقیق

برآورد دبی حداکثر لحظه‌ای

با توجه به این که ایستگاه هیدرومتری منطقه فقط دارای اشل بوده و بهمین دلیل داده‌های موجود تنها به صورت دبی‌های حداکثر روزانه هستند و دبی حداکثر لحظه‌ای در دسترس نیست، به منظور برآورد دبی حداکثر لحظه‌ای با استفاده از آمار دبی حداکثر روزانه، از سه روش تجربی، رابطه دوم فولر (۱۹۱۴) (رابطه ۱)، فیل-استینر (۲۰۰۳) (رابطه ۲) و سنگال (۱۹۸۳) (رابطه ۵) استفاده شد.

$$Q_{\max} = Q(1 + 2/66A^{-0.7}) \quad [1]$$

$$Q_{\max} = (0.8Q_r + 0.25(Q_1 + Q_2))/K \quad [2]$$

K فاکتور تصحیح است که از روابط ۳ و ۴ محاسبه می‌شود.

$$K = 0.9123X + 0.36 \quad [3]$$

$$X = (Q_1 + Q_2)/2Q_r \quad [4]$$

$$Q_{\max} = (4Q_r - Q_1 - Q_2)/2 \quad [5]$$

که Q_{\max} دبی حداکثر لحظه‌ای پیش‌بینی شده بر حسب مترمکعب بر ثانیه، Q حداکثر دبی میانگین روزانه بر حسب مترمکعب بر ثانیه، A مساحت حوزه بر حسب کیلومترمربع، Q_1 میانگین دبی روزانه روزی که حداکثر در آن اتفاق افتاده، Q_2 میانگین دبی روزانه روز قبل از آن و Q_r میانگین دبی روزانه روز بعد از آن می‌باشد.

خسارات ناشی از سیل در حوزه رودخانه گرگانزود پرداخته و همچنین هزینه‌های پروژه‌های کنترل سیلاب را مورد بررسی قرار داده‌اند.

در راستای تحقیقات مورد اشاره، در تحقیق حاضر تلاش شد تا خسارات مالی و جانی سیل در حوزه‌های قهروند و قمصر به کمک نرم افزار HEC-FIA مورد مطالعه قرار گیرد. بسته نرم‌افزار HEC-FIA (Flood Impact Analysis) از تولیدات نرم‌افزاری مرکز مهندسی هیدرولوژی ارتش آمریکا (Hydrologic Engineering Center) برای تجزیه و تحلیل اثر سیل می‌باشد که در سپتامبر سال ۲۰۱۲ ارائه شده است. این نرم‌افزار به کاربران امکان می‌دهد که خسارات سیل را برآورد کنند و سود نسبت داده شده به پروژه‌های کنترل سیل را بررسی نمایند. دوره‌های تجزیه و تحلیل می‌تواند یک دوره رویداد سیل منفرد یا یک دوره طولانی ثبت شده باشد. این برنامه میزان خسارت‌های کشاورزی، خسارت‌های شهری، تلفات انسانی و منفعت‌ها را برای یک رویداد یا به طور سالانه محاسبه می‌کند و خلاصه نتایج را گزارش می‌دهد. به کمک HEC-FIA همچنین می‌توان رویدادهای شکست سد را مورد بررسی قرار داد و برای سدها ارزیابی پیامدهای ریسک سیل را انجام داد.

مواد و روش‌ها

منطقه مورد مطالعه

حوزه آبخیز قهروند با مساحت $۹۰۹۱/۳۴$ هکتار در محدوده $۳۶^{\circ} ۳۶' ۳۶''$ تا $۳۰^{\circ} ۳۳' ۴۴''$ عرض شمالی و $۵۲/۲۲'$ تا $۵۱^{\circ} ۲۱' ۰۵''$ طول شرقی قرار دارد. این حوزه در شهرستان کاشان واقع شده و یکی از مناطق آسیب‌پذیر این شهرستان محسوب می‌شود. در این حوزه سه روستا وجود دارد که به علت کوهستانی بودن منطقه در بستر مسیل رودخانه توسعه پیدا کرده‌اند و این امر موجب شده بارش‌های سنگین منجر به ایجاد سیل و خسارات زیادی به مناطق مسکونی، باغات، اراضی کشاورزی و ... در سال‌های اخیر گردد. حوزه آبخیز قمصر با مساحت ۱۰۶۰۵ هکتار بخش

ضریب مانینگ تعدیلی برای تغییرات مقاطع عرضی، n_3 ضریب مانینگ تعدیلی برای موانع آبراهه اصلی و یا دشت سیلابی، n_4 ضریب مانینگ تعدیلی برای پوشش گیاهی آبراهه اصلی و یا دشت سیلابی و m ضریب اصلاحی زبری براساس درجه پیچانروزی آبراهه اصلی می‌باشد. مقدار پایه n یک حداقل کاهش را به علت اصطکاک نشان می‌دهد. تصحیحات پنج گانه با توجه به تأثیرشان بر تلاطم جریان تلاش می‌کنند مقادیر مبنای را اصلاح کنند و این تصحیحات در هر مرحله به مقدار پایه اضافه می‌شود.

تعیین و ایجاد پروفیل سطحی آب

برای ایجاد پروفیل سطحی آب در جریان پایدار باید شرایط مرزی جریان پایدار را برای مدل تعريف کرد. شرایط مرزی برای برقراری سطح آب آغازین در هر یک از دو انتهای سیستم رودخانه (پائین دست و بالادست) و شروع محاسبات، توسط برنامه مورد نیاز می‌باشد. در این مطالعه به علت وجود سیلاب‌های آنی و تعیین مرز سیلاب‌های با دوره‌های بازگشت بالا (دوره‌های بازگشت ۵۰۰ و ۱۰۰۰ سال) از شرایط فوق بحرانی استفاده شد.

ترسیم دشت سیلابی و تعیین محدوده سیل گرفتگی

بعد از انجام محاسبات هیدرولیکی و ایجاد سطوح مختلف آب در محیط HEC-RAS، این امکان وجود دارد که این نتایج جهت ترسیم مرز و میزان سیل گرفتگی و همچنین مشخص نمودن عمق سیل گرفتگی مجددًا به HEC-Geo RAS در محیط Arc GIS وارد گرددند.

شبیه‌سازی جریان ناپایدار

به منظور شبیه‌سازی جریان ناپایدار در HEC-RAS و به دست آوردن فایل شبیه‌سازی شده جریان (HEC-DSS) برای ورود به نرم‌افزار HEC-FIA، ابتدا داده‌های دبی سیل رخ داده با فواصل زمانی یک ساعت به عنوان ورودی به نرم‌افزار وارد و سپس

تحلیل فراوانی سیلاب

جهت انجام تحلیل فراوانی سیلاب، توزیع‌های متعددی به کار برده شد. به منظور برآورده چندک‌های توزیع، روش گشتاورها، حداکثر درست‌نمایی و گشتاور و وزنی احتمال کاربرد بیشتری دارند که در این تحقیق با توجه به این که نتایج آزمون‌های نکوبی برآش (مربع کای و کلوموگروف اسمیرنوف) و مقدار خطای استاندارد روش گشتاورهای وزنی احتمال را بهتر از بقیه روش‌ها معرفی نمود از این روش استفاده شد.

تهیه نقشه‌های سیل گرفتگی

جهت اطلاع از میزان و ارتفاع سیل، لازم است مدل هیدرولیکی در مسیر آبراهه شبیه‌سازی شود. برای شبیه‌سازی هیدرولیک جریان در بازه مورد مطالعه حوزه آبخیز قهرود و قمص از برنامه HEC-RAS که دارای توانایی بالایی در شبیه‌سازی مدل هیدرولیکی جریان پایدار تک‌بعدی می‌باشد، استفاده گردید (۱۰). در هر مقطع عرضی از بازه‌های مطالعاتی، با استفاده از HEC-RAS از چندین پارامتر ورودی جهت توصیف شکل، ارتفاع و مکان‌های تقریبی در طول آبراهه رودخانه استفاده شد. کلیه این پارامترها پیشتر با استفاده از HEC-Geo RAS از مدل رقومی زمینی استخراج و به محیط HEC-RAS وارد گردید.

تعیین ضریب زبری مانینگ

در این تحقیق از روش کاون برای تعیین میزان ضریب زبری مانینگ استفاده شد که در آن ابتدا یک مقدار پایه برای n تعیین می‌شود و بعد با استفاده از پارامترهای n_1, n_2, n_3, n_4, m که در ادامه توضیح داده شده است در کل آبراهه اصلی و یا دشت سیلابی از رابطه ۴ تصحیح می‌گردد (۷). دقت برآورد آن می‌تواند از جداول یک حالته به ویژه در مناطق رودخانه‌های طبیعی بیشتر باشد.

$$n = (n_b + n_1 + n_2 + n_3 + n_4)m \quad [4]$$

که n_b ضریب مانینگ پایه، n_1 ضریب مانینگ تعدیلی برای درجه بی نظمی سطح آبراهه اصلی و یا دشت سیلابی، n_2

جدول ۱. برآورد مقادیر جریان‌های سیلابی با دوره‌های بازگشت مختلف در ایستگاه‌های قمصر و قهرود (مترمکعب بر ثانیه)

	روش برآورد دبی اوج توزیع ۲ ساله ۵ ساله ۱۰ ساله ۲۰ ساله ۵۰ ساله ۱۰۰ ساله ۲۰۰ ساله ۵۰۰ ساله ۱۰۰۰ ساله								
۹۸/۱	۵۹/۰	۲۹/۷	۱۷/۴	۱۰/۰	۲/۵۳	۱/۲۹	۰/۴۵	LP-III	فولر(قمصر)
۲۰۱	۱۰۵	۴۴/۵	۲۳/۰	۱۱/۷	۲/۲۶	۱/۰۴	۰/۳۲	LP-III	سنگال(قمصر)
۲۳۱	۱۱۷	۴۷/۸	۲۴/۰	۱۱/۹	۲/۱۸	۰/۹۹	۰/۳۰	LP-III	فیل - استینر (قمصر)
۱۱۱/۱۸	۴۴/۸	۲۲/۴۵	۱۱/۱۹	۵/۵۳	۲/۱۲	۰/۹۹	۰/۳۲	LP-III	سنگال(قهرود)

همچنین تعداد افراد بالای ۶۵ سال به دست آمد.

در ادامه برای انجام شبیه‌سازی و محاسبه خسارت انسانی و یا کشاورزی اطلاعات متفاوتی مورد نیاز بود که با توجه به داده‌های در دسترس، این اطلاعات وارد گردید. برای بخش خسارت انسانی، فایل HEC-DSS ایجاد شده توسط شبیه‌سازی جریان ناپایدار مدل HEC-RAS و شبیپ فایل مقاطع عرضی وارد شده و برای بخش خسارت کشاورزی، تاریخ و زمان اوج سیلاب در واقعه سیل شبیه‌سازی شده تعریف گردید. نتایج حاصل از این نرم‌افزار، خسارات ناشی از سیل را برای بخش‌های کشاورزی و ساختمانی به صورت جداگانه و در قالب جداولی ارائه می‌دهد.

نتایج

در مرحله انجام تحلیل فراوانی سیل و برآورد دبی در دوره‌های بازگشت مختلف از توزیع لوگ پیرسون نوع سه (LP^۳) استفاده شد و این امری منطقی است زیرا اصولاً این توزیع برای مقادیر حدیکث به کار برده می‌شود. جهت انجام تحلیل فراوانی منطقه، توزیع‌های متعددی به کار برده شد. به منظور برآورد پارامترهای توزیع، روش‌های گشتاورها، حدیکث درست‌نمایی و گشتاور وزنی احتمال کاربرد پیشتری دارند که از بین آنها در حوزه قمصر روش گشتاورهای وزنی احتمال و در حوزه قهرود روش حدیکث درست‌نمایی پاسخ منطقی‌تری را با توجه به آزمون‌های انتخاب توزیع مناسب کلموگروف - اسمیرونوف، کای اسکوئر و روش‌های بصری دربر داشت. جدول ۱ نتایج برآورد مقادیر دبی با دوره‌های بازگشت مختلف را نشان می‌دهد.

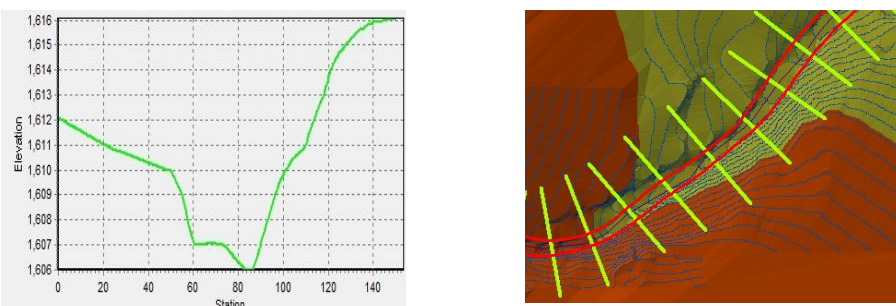
شرایط مرزی مشخص می‌شود.

شبیه‌سازی در نرم‌افزار HEC-FIA

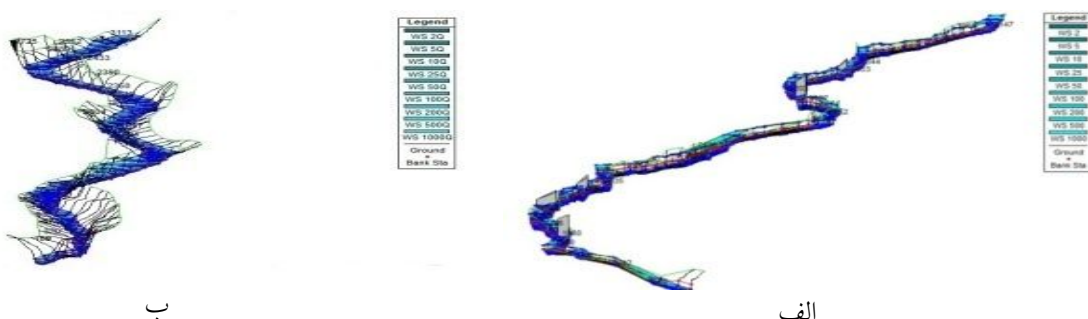
اطلاعات مورد نیاز برای شبیه‌سازی در این نرم‌افزار شامل خط مرکزی جریان، DEM دقیق حوزه، اطلاعات کاربری‌های کشاورزی و ساختمانی، فایل رستر آب‌گرفتگی منطقه (حاصل از شبیه‌سازی جریان پایدار در HEC-RAS)، منطقه تحت تأثیر سیلاب و نقاط محاسبه است. منطقه تحت تأثیر سیلاب، پلی‌گونی در اطراف خط مرکزی جریان و کاربری‌های سری‌های زمانی، موقعیت اطلاعات سری‌های زمانی را نمایش می‌دهد که این اطلاعات شامل هیدروگراف‌های شبیه‌سازی شده جریان ناپایدار در HEC-RAS می‌باشد. اطلاعات مورد نیاز برای بخش کشاورزی شامل پلی‌گون‌های معین کننده موقعیت کاربری‌های کشاورزی و اطلاعات جمع‌آوری شده از افراد محلی می‌باشد. این اطلاعات شامل نوع محصول، عملکرد هر محصول، هزینه و درآمد هر محصول در واحد سطح، تاریخ‌های کاشت و برداشت محصولات در منطقه و ... از طریق تکمیل پرسش‌نامه‌هایی که به همین منظور طراحی شده بود، به دست آمد. اطلاعات مورد نیاز برای بخش ساختمانی شامل تعیین موقعیت ساختمان‌ها و اطلاعات جمع‌آوری شده از منطقه از طریق پرسشنامه می‌باشد. در این پرسشنامه‌ها اطلاعاتی در خصوص کاربری ساختمان (مسکونی، تجاری، صنعتی، عمومی)، تعداد طبقات، ارتفاع فونداسیون، قیمت ساختمان و محتويات آن، تعداد افراد حاضر در روز و شب و

جدول ۲. مقدار P-value متحج شده از فرآیند تحلیل فراوانی سیل در ایستگاههای قمصر و قهرود (سطح اطمینان ۵ درصد)

روش برآورد دبی اوج	آزمون کای اسکوئر	آزمون کلموگروف- اسمیرونوف
فولر(قمصر)	۰/۲۶	۰/۷۰
سنگال(قمصر)	۰/۸۳	۰/۷۳
فیل - استینبر (قمصر)	۰/۹۵	۰/۷۷
سنگال(قهرود)	۰/۵	۰/۸۵



شکل ۱. ایجاد مقاطع عرضی بر روی TIN حوزه در نرم افزار HEC-Geo RAS



شکل ۲. نمای سه بعدی رودخانه بن رود، (الف) قهرود و (ب) در حالت جریان پایدار در همه دوره های بازگشت

با استفاده از پیش پردازش هایی که در HEC-Geo RAS معرفی شدند، این نتایج می توانند در شرایط مختلف ارتفاع، موقعیت و به طور کلی ویژگی های مقاطع عرضی کanal می باشند، استخراج گردید (شکل ۱).

شکل ۲ نمایی سه بعدی از پروفیل سطح آب در شرایط پایدار را نمایش می دهد که نتایج حاصل از مدل هیدرولیکی HEC-RAS در فرمت مناسب GIS ذخیره شد. در طی مرحله پس پردازش داده ها در HEC-Geo RAS محدوده سیل گیر اطراف رودخانه با دوره های بازگشت مختلف (۱۰۰۰، ۵۰۰، ۲۰۰، ۱۰۰، ۵۰، ۲۵، ۱۰) به صورت رستر و وکتور درآمد که نشان می دهد با افزایش دوره بازگشت، وسعت و عمق

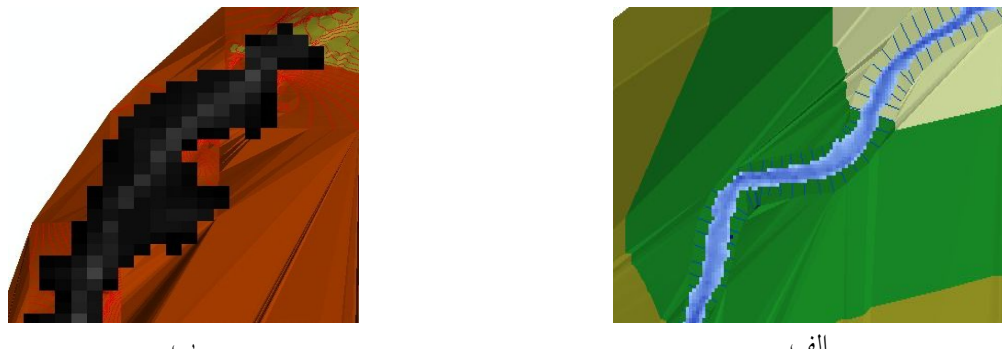
در جدول ۲ نیز مقدار P-value حاصل از فرآیند تحلیل فراوانی با استفاده از بسته نرم افزاری تحلیل فراوانی سیل (Frequency Analysis) در دو حوزه مطالعاتی آمده است.

همان گونه که در جدول ۲ مشاهده می شود چون مقدار P-value برای روش فیل - استینبر در هر دو آزمون کلموگروف- اسمیرونوف و کای اسکوئر در حوزه قمصر بیشتر از روش های فولر و سنگال است، از روش فیل - استینبر برای تبدیل دبی های حداکثر روزانه به حداقل لحظه ای و در نتیجه تحلیل فراوانی این دبی ها استفاده شد؛ این در حالی است که در حوزه آبخیز قهرود در هر دو آزمون، این مقادیر فقط برای روش سنگال پذیرفته شد.

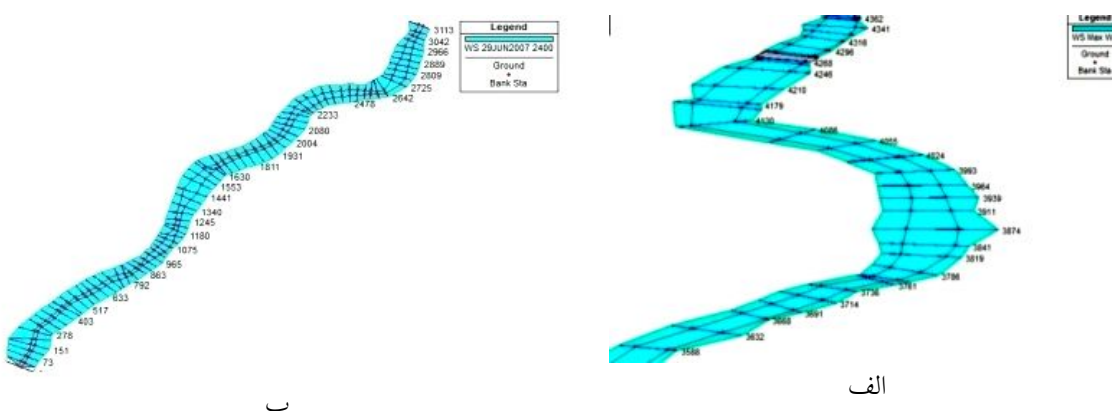
جدول ۳. خروجی حاصل از جریان ناپایدار HEC-RAS (HEC-DSS) به ترتیب در حوزه قمصر و قهرود

Filter	Part A	Part B	Part C	Part D	Part E	Part F
957	BON ROOD UPPER REACH	2436	FLOW-CUM	IJUN2007	1HOUR	44
958	BON ROOD UPPER REACH	2436	STAGE	IJUN2008	1HOUR	44
959	BON ROOD UPPER REACH	2449	FLOW	IJUN2009	1HOUR	44
960	BON ROOD UPPER REACH	2449	FLOW-CUM	IJUN2010	1HOUR	44
961	BON ROOD UPPER REACH	2449	STAGE	IJUN2011	1HOUR	44
962	BON ROOD UPPER REACH	2485	FLOW	IJUN2012	1HOUR	44
963	BON ROOD UPPER REACH	2485	FLOW-CUM	IJUN2013	1HOUR	44
964	BON ROOD UPPER REACH	2485	STAGE	IJUN2014	1HOUR	44

Filter	Part A	Part B	Part C	Part D	Part E	Part F
134	GHOHROD LOWER REACH	1209	FLOW-CUM	IJUN2007	1HOUR	PLANN
135	GHOHROD LOWER REACH	1245	STAGE	IJUN2008	1HOUR	PLANN
136	GHOHROD LOWER REACH	1245	FLOW	IJUN2009	1HOUR	PLANN
137	GHOHROD LOWER REACH	1245	FLOW-CUM	IJUN2010	1HOUR	PLANN
138	GHOHROD LOWER REACH	1291	STAGE	IJUN2011	1HOUR	PLANN
139	GHOHROD LOWER REACH	1291	FLOW	IJUN2012	1HOUR	PLANN
140	GHOHROD LOWER REACH	1291	FLOW-CUM	IJUN2013	1HOUR	PLANN
141	GHOHROD LOWER REACH	1340	STAGE	IJUN2014	1HOUR	PLANN



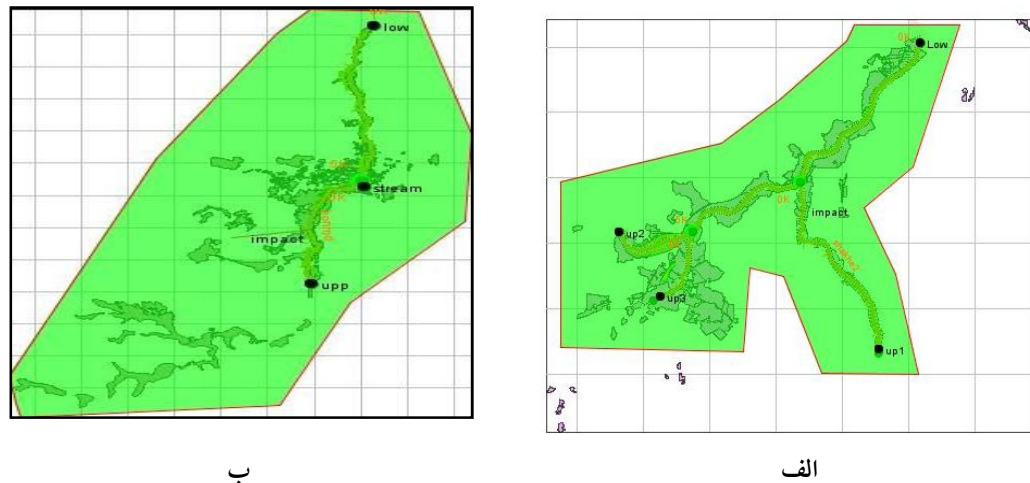
شکل ۳. الف) محدوده رسترنی سیل‌گیری شده با دوره بازگشت ۱۰۰۰ سال در بخشی از رودخانه بن‌رود و ب) قهرود



شکل ۴. الف) نمای پروفیل طولی در حالت جریان ناپایدار بخشی از آبراهه بن‌رود و ب) قهرود

برای همه مقاطع به دست آمد (جدول ۳). در نهایت پروفیل طولی رودخانه که حاصل شبیه‌سازی جریان ناپایدار در رودخانه است، حاصل شد (شکل ۴). پس از ورود داده‌ها و اطلاعات مورد نیاز، نسبت به

سیل‌گرفتگی نیز افزایش می‌یابد. از نتایج حاصل از شبیه‌سازی جریان ناپایدار، هیدرограф اشل-دی برای بازه‌های رودخانه می‌باشد. بعد از این که شبیه‌سازی انجام شد، خروجی مدل به صورت فایل HEC-DSS



شکل ۵. نمایی کلی از منطقه تحت تأثیر، نقاط محاسبه و خط مرکزی جریان در HEC-FIA. پلی گون‌های تیره محدوده اراضی کشاورزی را نمایش می‌دهد، الف) حوزه آبخیز قمصر و ب) حوزه آبخیز قهرود

جدول ۴. میزان خسارات کشاورزی حوزه‌های آبخیز قمصر و قهرود برآثر واقعه سیل سال ۱۳۸۶

حوزه	میزان خسارت (میلیون ریال)	مساحت سیل گیری شده (ha)
قهرود	۳۵۴/۲	۰/۸۵
قمصر	۱۲۸۷۹/۳	۳/۲۳

کشاورزی جمع‌آوری شده است. این اطلاعات همچنین با اداره جهاد کشاورزی شهرستان کاشان مورد بررسی قرار گرفته و از صحت آنها اطمینان حاصل شد. با وقوع سیل خساراتی به زیرساخت‌های منطقه نیز وارد می‌شود که در این مدل پیش‌بینی نشده و از روش‌های دیگر امکان محاسبه آن وجود دارد. براساس یافته‌های تحقیق، جدول ۵ تعداد ساختمان‌های آب گیری شده را به تفکیک نوع کاربری ساختمان در منطقه تحت تأثیر نمایش می‌دهد. با توجه به سیل در نظر گرفته برای کل منطقه قهرود، تحت تأثیر سیل قرار می‌گیرد که خسارت برآورده شده براساس مدل، حدود ۳۵۴ میلیون ریال بوده و همچنین اراضی کشاورزی تحت تأثیر سیل در حوزه آبخیز قمصر ۳/۲۳ هکتار و خسارت وارده حدود ۱۲/۸ میلیارد ریال برآورده گردید. میزان خسارات برآورده شده براساس ارزش‌های پرسش شده از افراد محلی است که در بخش اطلاعات کاربری

شبیه‌سازی در نرم‌افزار HEC-FIA اقدام شد. در شکل ۵ نمایی کلی از کاربری اراضی، نقاط محاسبه، خط مرکزی جریان و منطقه تحت تأثیر قابل مشاهده است.

این مدل، نتایج را برای هر منطقه تحت تأثیر به صورت جدولی نمایش می‌دهد (جدول ۴). این جدول شامل میزان خسارت سیل به محصولات موجود در منطقه (آلوجه، سیب و گرد) و سطح سیل گیری شده در واقعه سیل مورد بررسی می‌باشد (سیل سال ۱۳۸۶). ۰/۸۵ هکتار از اراضی کشاورزی در کل منطقه قهرود، تحت تأثیر سیل قرار می‌گیرد که خسارت برآورده شده براساس مدل، حدود ۳۵۴ میلیون ریال بوده و همچنین اراضی کشاورزی تحت تأثیر سیل در حوزه آبخیز قمصر ۳/۲۳ هکتار و خسارت وارده حدود ۱۲/۸ میلیارد ریال برآورده گردید. میزان خسارات برآورده شده براساس ارزش‌های پرسش شده از افراد محلی است که در بخش اطلاعات کاربری

جدول ۵. ساختمان‌های سیل‌گیری شده به تفکیک کاربری حوزه‌های آبخیز قمصر و قهرود بر اثر وقوع سیل سال ۱۳۸۶

نام منطقه تحت تأثیر	تجاری	مسکونی	کل ساختمان‌های آب‌گیری شده
قهرود	۹	۱۵	۲۴
قمصر	۱۳	۲۳	۳۶

جدول ۶. تشریح خسارات انسانی ناشی از سیل در حوزه آبخیز قهرود براساس یافته‌های تحقیق

Life Sim Report

Category	Num People Under 65 (Day)	Percentage Under 65 (Day)	Num People Over 65 (Day)	Percentage Over 65 (Day)	Num People Under 65 (Night)	Percentage Under 65 (Night)	Num People Over 65 (Night)	Percentage Over 65 (Night)
● PAR	133	100%	30	100%	43	100%	13	100%
□ Received Warning	73	55%	13	43%	21	49%	4	31%
□ Mobilized	72	54%	13	42%	21	48%	4	30%
□ Total Cleared	72	54%	13	42%	21	48%	4	30%
● Started Inun...	73	55%	13	43%	21	49%	4	31%
□ Caught	0	0	0	0	0	0	0	0
● Survived	0	0	0	0	0	0	0	0
● Lost Life	0	0	0	0	0	0	0	0
● Not Mobilized	1	1%	0	1%	0	1%	2	16%
● Depth < Non Evacu...	0	0	0	0	0	0	0	0
□ Not Mobilized	55	42%	15	51%	22	52%	7	54%
● Warned	1	1%	0	1%	0	1%	2	16%
● Not Warned	54	41%	15	50%	22	51%	5	38%
□ In Buildings	55	42%	15	51%	22	52%	7	54%
□ 1 Story	2	2%	5	17%	0	0%	0	0%
● Survived	2	2%	5	17%	0	0%	0	0%
● Lost Life	0	0%	0	0%	0	0%	0	0%
□ 2 Story	31	23%	8	27%	15	36%	5	39%
● Survived	31	23%	8	27%	15	36%	5	39%
● Lost Life	0	0%	0	0%	0	0%	0	0%
□ 3 Story	22	17%	2	7%	7	16%	2	15%
● Survived	22	17%	2	7%	7	16%	2	15%
● Lost Life	0	0%	0	0%	0	0%	0	0%
□ Initial Condition								
● Started Inundated	73	55%	13	43%	21	49%	4	31%
□ Total Cleared	78	58%	15	49%	21	48%	6	46%
● Warned/Mobilized/...	72	54%	13	42%	21	48%	4	30%
● Depth < Non Evacu...	6	5%	2	7%	0	0%	2	15%
□ Total Life Loss	0	0%	0	0%	0	0%	0	0%
● In Buildings	0	0%	0	0%	0	0%	0	0%
● Caught Evacuating	0	0	0	0	0	0	0	0

سیستم هشدار استفاده شد. سیستم‌های هشدار دیگر موجود در نرم افزار شامل رادیو، تلفن اتوماتیک و سیستم‌های هشدار اورژانسی (Emergency Broadcast System) (EBS) و همچنین ترکیبی از این سیستم‌ها می‌باشد). تعداد افرادی که پس از دریافت پیام هشدار تجهیز می‌شوند در قالب Mobilized دسته‌بندی شده و از این تعداد، افرادی که مکان را تخلیه می‌کنند و از منطقه خطر خارج می‌شوند در قالب

جداول ۶ و ۷ تشریح شده است. این جداول همه گزینه‌ها را به تفکیک برای افراد زیر ۶۵ سال و بالای ۶۵ سال در روز و در شب به صورت جداگانه نمایش می‌دهد.

(Population At Risk) PAR جمعیت تحت خطر را نمایش می‌دهد. تعداد اشخاصی که پیام هشدار را دریافت می‌کنند در قالب Received Warning تعیین شده است (سیستم هشدار پیش‌فرض این نرمافزار آذیر می‌باشد و در این مطالعه از همین

جدول ۷. تشریح خسارات انسانی ناشی از سیل در حوزه آبخیز قمصر براساس یافته‌های تحقیق

Life Sim Report for simlife - alterlife

Category	Num People Under 65 (Day)	Percentage Under 65 (Day)	Num People Over 65 (Day)	Percentage Over 65 (Day)	Num People Under 65 (Night)	Percentage Under 65 (Night)	Num People Over 65 (Night)	Percentage Over 65 (Night)
PAR	174	100%	25	100%	135	100%	11	100%
Received Warning	9	5%	1	4%	9	7%	1	9%
Mobilized	9	5%	1	4%	9	7%	1	9%
Total Cleared	9	5%	1	4%	9	7%	1	9%
Started Inun...	9	5%	1	4%	9	7%	1	9%
Caught	0	0	0	0	0	0	0	0
Survived	0	0	0	0	0	0	0	0
Lost Life	0	0	0	0	0	0	0	0
Not Mobilized	0	0%	0	0%	0	0%	0	0%
Depth < Non Evac...	0	0	0	0	0	0	0	0
Not Mobilized	164	94%	24	96%	126	93%	10	91%
Warned	0	0%	0	0%	0	0%	0	0%
Not Warned	164	94%	24	96%	126	93%	10	91%
In Buildings	164	94%	24	96%	126	93%	10	91%
1 Story	82	47%	4	16%	57	42%	2	18%
Survived	82	47%	4	16%	57	42%	2	18%
Lost Life	0	0%	0	0%	0	0%	0	0%
2 Story	30	17%	14	56%	4	3%	2	18%
Survived	30	17%	14	56%	4	3%	2	18%
Lost Life	0	0%	0	0%	0	0%	0	0%
3 Story	52	30%	6	24%	65	48%	6	55%
Survived	52	30%	6	24%	65	48%	6	55%
Lost Life	0	0%	0	0%	0	0%	0	0%
Initial Condition								
Started Inundated	9	5%	1	4%	9	7%	1	9%
Total Cleared	10	6%	1	4%	9	7%	1	9%
Warned/Mobilized/...	9	5%	1	4%	9	7%	1	9%
Depth < Non Evac...	1	1%	0	0%	0	0%	0	0%
Total Life Loss	0	0%	0	0%	0	0%	0	0%
In Buildings	0	0%	0	0%	0	0%	0	0%
Caught Evacuating	0	0	0	0	0	0	0	0

می‌دهد چه تعداد افراد با دریافت پیام، منطقه را تخلیه کرده و چه تعداد از بین رفته‌اند.

براساس نتایج به دست آمده، در حوزه آبخیز قهروند ۱۳۳ نفر زیر ۶۵ سال و ۳۰ نفر بالای ۶۵ سال در روز تحت تأثیر سیل قرار می‌گیرند و این آمار برای شب به ترتیب ۲۳ و ۱۳ نفر می‌باشد. از این تعداد، ۷۳ نفر زیر ۶۵ سال و ۱۳ نفر بالای ۶۵ سال پیام هشدار (آژیر) را در روز دریافت می‌کنند که این آمار در شب به ترتیب تعداد ۲۱ و ۴ نفر می‌باشد. همچنین در حوزه آبخیز قمصر از افراد زیر ۶۵ سال ۱۷۴ نفر در روز و ۱۳۵ نفر در شب و از افراد بالای ۶۵ سال ۲۵ نفر در روز و ۱۱ نفر در شب در معرض خطر سیل هستند.

از بین افراد در معرض خطر سیل زیر ۶۵ سال، ۱۶۴ نفر (معادل ۹۴ درصد) در روز و ۱۲۶ نفر (معادل ۹۳ درصد) در

مطروح می‌شود. افرادی که در زمان آغاز TotalCleared آغازگیری شروع به تخلیه می‌کنند نیز در بخش Started Caught Inundated مشخص شده است. قسمت افرادی را مشخص می‌کند که با شروع زمان سیل گیری برای تخلیه اقدام می‌کنند ولی قادر به ترک منطقه خطر قبل از آغازگیری کامل نیستند. از این افراد تعدادی جان سالم به در می‌برند (Survived) و تعدادی از بین می‌روند (Life Loss). افرادی که پیام هشدار را دریافت می‌کنند ولی با این حال منطقه خطر را تخلیه نمی‌کنند در قالب Not Mobilized معرفی شده است. تعداد افرادی که پیام هشدار را دریافت نمی‌کنند تحت عنوان Not Mobilized مشخص شده که شامل افرادی است که جان سالم به در می‌برند و یا از بین می‌روند. سایر بخش‌های این جدول، نشان‌دهنده وضعیت ابتدایی شرایط شبیه‌سازی است که نشان

تنها بر روی گیاه برنج متمرکز بوده است در صورتی که در این مدل همه خسارت‌ها قابل برآورد می‌باشد.

نتایج حاصل از شبیه‌سازی و خسارات جانی برآورده شده نشان می‌دهد که تعداد افرادی که پیام هشدار (آژیر) را دریافت می‌کنند بالای ۵۰٪ افراد واقع در منطقه قهروند هستند و این نشانگر کارآمدی سیستم هشدار در منطقه مورد مطالعه می‌باشد. در این منطقه خانه‌ها بیشتر به صورت متراکم قرار گرفته‌اند و این گونه سیستم‌های هشدار تأثیر مناسبی بر کاهش میزان خسارات انسانی ناشی از سیل دارد، در صورت پراکنده از هم وجود دارد و سیستم قمصر ساختمان‌ها به صورت پراکنده از هم وجود دارد و سیستم هشدار به کار برده شده در منطقه (آژیر) کارآبی مناسبی ندارد، زیرا بالای ۹۰ درصد از افراد حاضر در منطقه هشدار را دریافت نمی‌کنند. بنابراین بهتر است در چنین مناطقی با ساختمان‌های پراکنده سیستم هشدار دیگری مانند تماس تلفنی اتوماتیک تعريف گردد تا خسارت انسانی ناشی از سیل کم شود.

تحقیقات انجام گرفته در زمینه برآورد خسارت سیل در جهان، برای هر بخش مثلاً کشاورزی انجام شده یا اگر خسارات کشاورزی و ساختمانی و انسانی با هم بررسی شده، توانایی تفکیک جزئیات را نداشته‌اند؛ در حالی که نرم‌افزار HEC-FIA این توانایی را دارا می‌باشد. این مدل قادر به برآورد خسارت‌های بخش‌های مختلف کشاورزی، ساختمانی، انسانی و ... هم برای سیلاب‌های اتفاق افتاده و هم برای سیلاب‌های احتمالی می‌باشد که نتایج آن می‌تواند در مدیریت حوزه آبخیز، بیمه سیل و مدیریت ریسک ستاد بحران کمک شایانی بنماید. دقت ورودی‌های مدل در نتایج تأثیرگذار است. بنابراین اگر بخواهیم دقت خروجی را افزایش دهیم ورودی‌ها نیز باید دارای دقت بیشتری باشند. برای استفاده از این مدل سازمان‌های مربوطه می‌توانند اطلاعات دقیق مورد نیاز را فراهم نمایند تا بتوانند در آینده از آنها استفاده کنند. با استفاده از این مدل امکان ارزیابی اقتصادی پروژه‌هایی مانند مخزن و ... قبل از احداث آنها وجود دارد تا هم از هزینه‌های بی‌مورد جلوگیری کنند و هم حضور یا عدم حضور این پروژه‌ها را در میزان کاهش خسارت و بهره‌وری

شب پیام هشدار را دریافت نمی‌کنند. از افراد در معرض خطر بالای ۶۵ سال، ۲۴ نفر (معادل ۹۶ درصد) در روز و ۱۰ نفر (معادل ۹۱ درصد) در شب پیام هشدار را دریافت نمی‌کنند.

بحث و نتیجه‌گیری

با استفاده از نتایج به دست آمده از این تحقیق می‌توان با روش‌های صحیح مدیریتی از خسارت به مناطق مسکونی، کشاورزی و ... جلوگیری به عمل آورد و میزان ریسک سرمایه‌گذاری را هم برای مردم و هم برای مدیران و برنامه‌ریزان مشخص کرد. با بررسی نتایج به دست آمده و نقشه‌های سیل گیری، مشاهده می‌شود که به‌ازای دوره‌های بازگشت طولانی‌تر، میزان دبی بیشتر شده و پهنه سیلابی نیز وسعت بیشتری یافته است. در حقیقت علت کم‌بودن تفاوت سطح سیل گیر در بسیاری از بخش‌ها و همچنین عدم تفاوت چشمگیر در وسعت اراضی در معرض سیل به ازای دوره‌های بازگشت مختلف، وجود توپوگرافی پرشیب در حاشیه رودخانه است.

نتایج این تحقیق نشان می‌دهد که تغییرات کاربری اراضی و افزایش ساخت و سازهای بی‌رویه در امتداد و حريم رودخانه‌های قهروند و قمصر که باعث تغییر در ضریب رواناب، ضریب زبری، نفوذپذیری و همچنین تنگ‌شدگی مقطع رودخانه گردیده است می‌تواند عامل اصلی افزایش دبی پیک سیلاب‌ها و در نتیجه افزایش سطح و عمق پهنه‌های سیل گیر باشد که این یافته‌ها با نتایج لوبولد (۱۵)، نووتني واولم (۱۶) و آلاميلا (۸) مشابه است. با توجه به GIS محور بودن این مدل و برآورد اثرات همه جانبه سیل در آن می‌توان در هر نقطه از دشت سیلابی کلیه خسارت‌های ناشی از سیل اعم از کشاورزی، انسانی، ساختمانی و ... را برآورد نمود. تیت (۲۰)، مطیعی و باربد (۶) و خلیلی‌زاده و همکاران (۲) دقت نرم‌افزارهای GIS محور قبلی را مورد تأکید قرار دادند و، گنجی نوروزی و همکاران (۵) به بررسی خسارت کشاورزی در حوزه آزارود با ارائه مدل پیش‌بینی خسارت کشاورزی پرداخته‌اند که محاسبه خسارت

علوفه، حفاظت آب و خاک و ... هستند که می‌توان ارزش اقتصادی آنها را نیز برآورد نمود. پیشنهاد می‌شود در مطالعات بعدی، خسارات واردہ به‌این موارد نیز به صورت جداگانه محاسبه شده و به مجموع خسارات افزوده شود.

آنها مورد بررسی قرار گیرد. از معایب این نرم‌افزار می‌توان به عدم محاسبه خسارات تحمیل شده به مراعع، دام، خاک، زیست‌گاه‌ها و زیرساخت‌ها از جمله تخریب جاده‌ها و خسارات انسانی افراد حاضر حاضر در مسیر جاده‌ها اشاره کرد. مراعع دارای کارکردهای متفاوتی مثل ترسیب کربن، تولید اکسیژن، تولید

منابع مورد استفاده

۱. امیدوار، ب.، ا. شمس‌الدینی. ۱۳۸۵. ارزیابی خسارت‌های مستقیم و غیرمستقیم مالی سیل با استفاده از نرم‌افزار HAZUS-MH. اولین همایش مقابله با سوانح طبیعی، دانشگاه تهران.
۲. خلیلی‌زاده، م.، ا. مساعدی و ع. نجفی‌زاده. ۱۳۸۴. پهنه‌بندی خطر سیل در بخشی از محدوده رودخانه زیارت در حوزه آبخیز شهری گرگان، مجله علوم کشاورزی و منابع طبیعی، شماره ۸۴، ص: ۱۳۸.
۳. طهماسبی پور، ن. ۱۳۸۶. منطقه‌ای کردن برآورد سیل در تعدادی از زیر حوزه‌های کرخه با استفاده از چوگانی تعمیم‌یافته، مجله پژوهش و سازندگی، جلد ۷۴، ص: ۱۰-۲.
۴. فدایی، م.، ج. عطاری. و م. مصباحی. ۱۳۸۸. مقایسه اقتصادی پروژه‌های مدیریت سیلاب با استفاده از تلفیق نرم‌افزارهای GIS و HEC-FDA در رودخانه گرگان رود، هشتمین کنگره بین‌المللی مهندسی عمران، دانشگاه شیراز.
۵. گنجی نوروزی، ز.، ع. شکوهی. ۱۳۹۲. ارائه مدل پیش‌بینی خسارت کشاورزی ناشی از سیل، کنفرانس ملی مدیریت سیلاب، تهران.
۶. مطیعی، م.، م. باربد. ۱۳۸۱. پهنه‌بندی سیلاب در حوزه آبخیز با ترکیب سیستم اطلاعات جغرافیایی و مدل‌های ریاضی، ششمین کنفرانس بین‌المللی مهندسی رودخانه، دانشگاه شهید چمران اهواز.
7. Acement G. S. and Schneider V. R. 1985. Guide for selecting Manning's roughness coefficient for natural channels and Flood plains, Water Resources paper 2339, US Geological survey , Washington DC. (updated 2002).
8. Alamilla, S. 2001. GIS based approach to floodplain delineation and flood risk estimation applied to the Oak Creek watershed, Master of Science thesis, Department of Civil and Environmental Engineering, Margiette University, Milwaukee. pp 4-15.
9. Donker, N. H. 2001. A Simple Rainfall-runoff model based on Hydrological Units applied to the teba catchment (south-east Spain); Hydrological processes 15: 135-149.
10. Donnelly, M. K. 2001. Developing digital flood insurance rate maps for lago vista, masters of science in engineering the university of texas at austin.
11. Dutta, D., S. Herath and K. Musiake. 2003. A mathematical model for flood loss estimation, J. of Hydrology 277: 24-49.
12. Francisco, N. C. and et al., 1998. Coupling GIS with Hydrologic and Hydrolic Flood modeling management; Water resources management 12: 229-249.
13. Hundecha, Y. and et al., 2001. Development of a fuzzy logic-based rainfall-runoff model, Hydrological Sci J. 46(3): 363-376.
14. Jalali Rad, R. 2002. Flooding zones in the Urban basin of Tehran by using GIS. MSc thesis Watershed Engineering, Tarbiat Modares University.
15. Leopold, L. B. 1968. Hydrology for urban land planning. A guidebook on the hydrologic effects of urban land use , US. Geol. Circ. 554, USGS, Washington, DC. PP: 16-28.
16. Novotny, V. and H. Olem. 1994. Water Quality: Prevention, Identification, and Management of Diffuse pollution, Van Nostrand Reinhold, New York. pp. 250-258.
17. Penning-Rowsell, E., P. Floyd, D. Ramsbottom and S. Surendran. 2005. Estimating Injury and Loss of Life in Floods:A Deterministic Framework, Natural Hazards 36: 43-64.
18. Shah, S. M. S. and et al., 1996. Modeling the effects of spatial variability in rainfall on catchment response, 2.

- Experiments with distributed and lumped models. J. of Hydrological processes 175: 89-111.
19. Snead, D. B. 2000. Development and application of unsteady flood models using geographic information systems. masters thesis, Department of Civil Engineering, The university of texas at austin.
20. Tate, E. C. 1998. Floodplain mapping using HEC-RAS and ArcView GIS. Masters Thesis, Department of Civil Engineering, the University of Texas at Austin.
21. Yang, J., R. D. Townsend and B. Daneshfar. 2006. Applying the HEC-RAS model and GIS techniques in river network floodplain delineation, Can. J. of Civil Eng. 33:19-28.